

Рис. 3. Распределение пациентов по степени нарушения обоняния на стороне патологии в позднем послеоперационном периоде в трех исследуемых группах

Fig. 3. Distribution of patients according to the degree of olfactory impairment on the side of the pathology in the late postoperative period in the three study groups

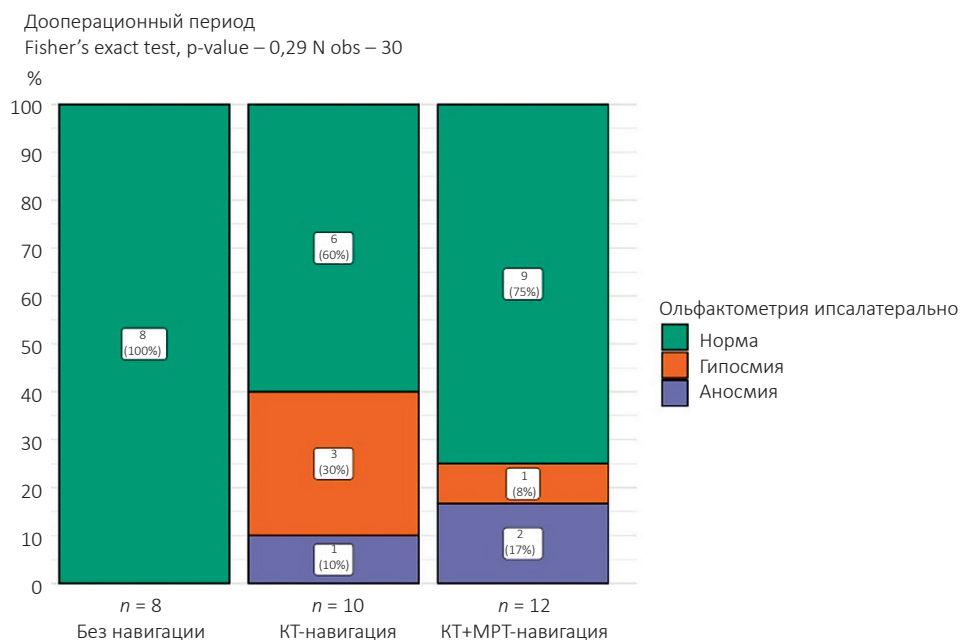


Рис. 4. Распределение пациентов по степени выраженности рубцовых изменений на стороне патологии по данным эндоскопии в предоперационном периоде в трех исследуемых группах

Fig. 4. Distribution of patients according to the scarring severity on the side of the pathology on endoscopy in the preoperative period in the three study groups

ции. Рубцовые изменения полости носа были обнаружены лишь в группах с применением навигации: у 4 (40%) пациентов в группе КТ-навигации и у 4 (33,3%) пациентов в группе КТ-МРТ-навигации (рис. 4). При сравнении медиан суммы шкалы Lund–Kennedy обнаружено, что не было статистически значимой разницы в эндоскопической картине среди исследуемых групп

на 7-е сутки после операции ($p = 0,552$), в раннем и в отдаленном ($p = 0,896$) послеоперационном периодах ($p = 0,579$) (рис. 5).

Интраоперационные осложнения, такие как травма нервных структур или крупных сосудов, интраоперационная ликворея, выраженное кровотечение, отсутствовали во всех трех группах. Средняя кровопотеря была сопоставима